

УДК 537.611.3

**ВЛИЯНИЕ ИЗМЕНЕНИЯ  
РАВНОВЕСНОЙ ОРИЕНТАЦИИ НА МАГНИЧЕННОСТИ  
НА ШИРИНУ ЛИНИИ ФМР В АНИЗОТРОПНЫХ  
МАГНИТНЫХ ПЛЕНКАХ**

A. M. Зюзин

Описан механизм уширения линии ФМР в анизотропных магнитных пленках при промежуточных, между трудным и легким, направлениях внешнего магнитного поля  $H$ . Причина уширения заключается в изменении величины разориентации вектора намагниченности  $M$  относительно  $H$  в процессе прохождения резонансных условий при регистрации линии поглощения. Предложенный метод анализа для определения ширины линии позволил получить удовлетворительное соответствие теоретических и экспериментальных результатов.

При анализе результатов исследований, посвященных анизотропии  $2\Delta H$ , обычно не учитывается влияние на ее величину изменения равновесной ориентации намагниченности  $M$ , которое имеет место при регистрации линии поглощения.

В работе [1] был предложен способ учета влияния разориентации векторов  $H$  и  $M$  на  $2\Delta H$ . Однако количественного соответствия между теоретическими и экспериментальными результатами в этой работе не было получено.

Целью настоящей работы являлось проведение теоретического анализа и экспериментальной проверки влияния изменения равновесной ориентации намагниченности на ширину линии ФМР в пленках феррит-гранатов ориентации (111) с учетом кубической анизотропии.

Как известно [2], в качестве ширины линии обычно принимается величина, равная расстоянию между точками кривой поглощения, в которых  $\chi'' = \chi''_{\text{рез}}/2$ . Здесь  $\chi''_{\text{рез}}$  — резонансное значение антиэрмитовой части диагональной компоненты тензора высокочастотной магнитной восприимчивости, которая определяет поглощение энергии в случае линейно-поляризованного ВЧ поля. Значений  $\chi'' = \chi''_{\text{рез}}/2$  можно достичь изменением либо частоты ВЧ поля  $\omega$ , либо собственной частоты прецессии намагниченности  $\omega_0$ . Изменение  $\omega_0$  производится изменением величины  $H$ .

Рассматриваемый механизм уширения линии ФМР при промежуточных, между параллельным и перпендикулярным, направлениях внешнего магнитного поля относительно плоскости пленки заключается в следующем. Значения собственной частоты прецессии  $\omega_{01}$  и  $\omega_{02}$ , соответствующие точкам на половине высоты линии поглощения, достигаются при разных значениях внешнего магнитного поля. Но разным значениям этого поля соответствуют разные значения угла равновесной ориентации намагниченности, от которого, как и от  $H$ , зависит  $\omega_0$ . Это обстоятельство приводит к тому, что  $\omega_{01}$ ,  $\omega_{02}$ , а следовательно, и вышеуказанные точки будут достигаться при иных значениях внешнего поля по сравнению с ситуацией, если бы ориентация намагниченности оставалась постоянной и соответствующей резонансному значению поля. По этой причине и ширина линии, т. е. интервал между значениями  $H$ , соответствующими  $\chi'' = \chi''_{\text{рез}}/2$ ,

будет определяться не только параметром затухания  $\alpha$ , но и существенной зависимостью угла равновесной ориентации намагниченности от величины внешнего магнитного поля.

Предлагаемый метод анализа состоит в нахождении решений уравнения, определяющего положения точек линии поглощения, находящихся на половине высоты. При этом решение производится относительно поля  $H$ , которое определяет собственную частоту прецессии, входящую в исходное соотношение для антиэрмитовой части соответствующей компоненты тензора высокочастотной магнитной восприимчивости. Пользуясь результатами, изложенными в [2], легко показать, что в случае линейно-поляризованного ВЧ поля для нахождения вышеотмеченных точек необходимо решить уравнение

$$\frac{\alpha\omega\gamma M \left\{ 2\omega_H q (\omega_H + N_{22}^{\Phi}\gamma M) - [\omega_0^2 - (1 + \alpha^2)\omega^2] \right\}}{[\omega_0^2 - (1 + \alpha^2)\omega^2]^2 + 4\alpha^2\omega^2\omega_H^2q^2} = \frac{\gamma M (\omega_H + N_{22}^{\Phi}\gamma M)}{4\alpha\omega\omega_B q}, \quad (1)$$

где  $\gamma$  — гиromагнитное отношение;  $\omega_H = \gamma H_{i0}^{\Phi}$ ;  $H_{i0}^{\Phi}$  — сумма проекций внешнего магнитного поля и эффективного поля анизотропии на направление  $M$ ;  $q$  — параметр, зависящий от компоненты  $N_{22}^{\Phi}$  тензора эффективных размагничивающих факторов и статической магнитной восприимчивости [2]. Можно показать, что при резонансе значение  $\omega_H q [1 - (\omega_0 - \omega)/2 (\omega_H + N_{22}^{\Phi}\gamma M)]$  достаточно близко к значению собственной частоты прецессии  $\omega_0$ , которая в этом случае равна  $(1 + \alpha^2)^{1/2}\omega$ . Отклонение величины  $\alpha\omega_H q [1 - (\omega_0 - \omega)/2 (\omega_H + N_{22}^{\Phi}\gamma M)]/\gamma$  в точках  $H_{01}$ ,  $H_{02}$  ( $\chi'' = \chi'_{\text{pes}}/2$ ) от ее значений при резонансе будет иметь второй порядок малости относительно  $\alpha$ . Поэтому в первом приближении указанная величина принималась равной  $(\alpha\omega/\gamma) = \Delta H_{\perp}$ , т. е. наблюдаемой полуширине линии при перпендикулярном направлении, когда разориентация между  $H$  и  $M$  и ее изменение отсутствуют. При расчетах, как и в [1], предполагалась изотропность  $\alpha$ . Решение (1) относительно  $\omega_0$  дает следующие значения:

$$\omega_{01} = (1 - \alpha)\omega, \quad \omega_{02} = (1 + \alpha)\omega. \quad (2)$$

Полученные значения собственной частоты  $\omega_{01}$ ,  $\omega_{02}$  достигаются при соответствующих значениях магнитного поля  $H_{01}$  и  $H_{02}$ , разность между которыми и будет определять ширину линии ФМР.

Искомые значения магнитного поля в случае, когда  $H$  лежит в плоскости (110), перпендикулярной плоскости пленки и представляющей наибольший интерес с точки зрения влияния кубической анизотропии, можно найти из соотношения, определяющего собственную частоту прецессии намагниченности [3]

$$\begin{aligned} \omega_0^2 = & \gamma^2 \left\{ H \cos(\theta_M - \theta_H) + H_k^{\Phi} \sin^2 \theta_M + H_{k1} \left[ -(3/16) + (2\sqrt{2}/3) \sin 2\theta_M + \right. \right. \\ & \left. \left. + (1/3) \cos 2\theta_M + (\sqrt{2}/12) \sin 4\theta_M - (7/48) \cos 4\theta_M \right] \right\} \left\{ H \cos(\theta_M - \theta_H) - H_k^{\Phi} \cos 2\theta_M + \right. \\ & \left. + (1/12) H_{k1} \left[ 2\sqrt{2} \sin 2\theta_M + \cos 2\theta_M + 4\sqrt{2} \sin 4\theta_M - 7 \cos 4\theta_M \right] \right\}, \end{aligned} \quad (3)$$

где  $H_k^{\Phi}$  — эффективное поле одноосной анизотропии,  $H_{k1}$  — поле кубической анизотропии, и соотношения, определяющего равновесную ориентацию намагниченности (угол  $\theta_M$ ), которое в свою очередь находится из условия минимума свободной энергии анизотропного феримагнетика во внешнем магнитном поле

$$2H \sin(\theta_M - \theta_H) = H_k^{\Phi} \sin 2\theta_M - H_{k1} \left[ (1/12) \sin 2\theta_M - (7/24) \sin 4\theta_M + \sqrt{2} \cos^2 \theta_M - \right. \\ \left. - (4\sqrt{2}/3) \cos^4 \theta_M \right]. \quad (4)$$

В приведенных соотношениях углы  $\theta_M$  и  $\theta_H$  отсчитываются в плоскости (110) от оси [112].

Расчет угловых зависимостей  $2\Delta H$  производился численным методом на ЭВМ. Необходимые для расчета значения  $H_{k1}$  определялись по мето-

дике, описанной в [4]; значения  $H_k^{\text{эф}}$  и  $\gamma$  рассчитывались по резонансным полям при перпендикулярной и параллельной ориентациях с учетом  $H_{k1}$ .

Экспериментальная проверка проводилась на пленках феррит-гранатов  $(\text{YSmLuLaCa})_3(\text{FeGe})_5\text{O}_{12}$ ,  $(\text{YSm})_3\text{Fe}_5\text{O}_{12}$ ,  $(\text{YBiGdSmLaLuCa})_3(\text{FeSi})_5\text{O}_{12}$  с различными значениями  $H_k^{\text{эф}}$  и  $2\Delta H_{\perp}$ , что достигалось изменением соотношений гранатообразующих элементов. Значения  $H_k^{\text{эф}}$  и  $2\Delta H$  варьирова-

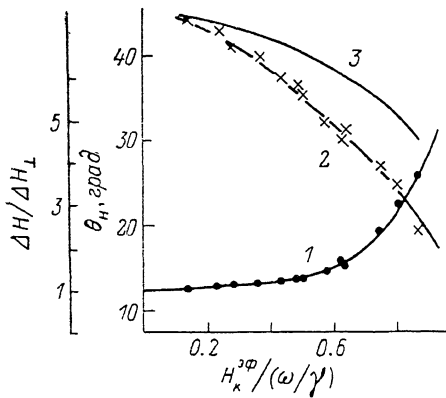


Рис. 1.

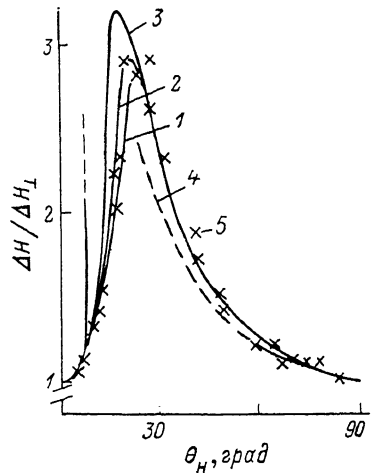


Рис. 2. Угловые зависимости относительного уширения линии.

Штрихи — расчет несправедлив из-за возникновения доменной структуры и невозможности достижения  $H_{01}$ .

лись также путем изменения температуры в пределах 173—473 К. Все образцы были выращены на подложках гадолиний-галлиевого граната, вырезанных в плоскости (111). Измерения параметров ФМР проводились на частоте 9,34 ГГц.

Одна из задач работы состояла в исследовании влияния относительного значения эффективного поля одноосной анизотропии  $H_k^{\text{эф}}/(\omega/\gamma)$  на уширение линии для случая малых значений  $\alpha$ . Анализ и экспериментальные измерения при этом проводились для плоскости (112), перпендикулярной плоскости пленки, где в меньшей степени проявляется действие кубической анизотропии. Необходимо подчеркнуть, что, как следует из теоретических и экспериментальных результатов, кубическая анизотропия, величина которой в исследованных пленках феррит-гранатов была примерно на порядок меньше одноосной анизотропии, оказывает хотя и заметное (в частности, для плоскости (110)), но не определяющее влияние на уширение линии ФМР. На рис. 1 представлены рассчитанная (кривая 1) и экспериментальная (точки) зависимости максимального значения  $2\Delta H$  от  $H_k^{\text{эф}}/(\omega/\gamma)$ . Видно, что имеет место соответствие теоретических и экспериментальных результатов. При значениях  $H_k^{\text{эф}}$ , близких к  $\omega/\gamma$ , уширение линии, обусловленное рассматриваемым механизмом, может в несколько раз превышать  $2\Delta H_{\perp}$ . Расчетные значения угла  $\theta_H$ , при котором наблюдается максимальная ширина линии, с возрастанием  $H_k^{\text{эф}}$  уменьшаются (кривая 2). Это означает, что с возрастанием  $H_k^{\text{эф}}$  максимум  $2\Delta H$  должен наблюдаться при ориентациях  $\mathbf{H}$ , все более близких к трудному направлению. Кривая 3 изображает расчетную зависимость от  $H_k^{\text{эф}}$  угла  $\theta_H$ , соответствующего максимальной разориентации ( $\theta_M - \theta_H$ ). Эксперимен-

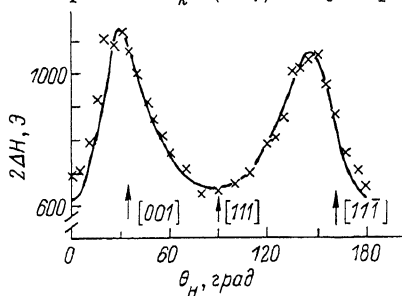


Рис. 3.

тальная зависимость угла  $\theta_H$ , соответствующего максимуму  $2\Delta H$  (точки), хорошо согласуется с кривой 2. Из этого следует, что уширение  $2\Delta H$  не просто прямо связано с величиной разориентации ( $\theta_M - \theta_H$ ) [1], а обусловлено ее изменением. Следует отметить, что максимальное уширение  $2\Delta H$  соответствует участку наиболее быстрого изменения на угловой зависимости резонансного поля. На рис. 2 представлены расчетные зависимости  $2\Delta H / 2\Delta H_{\perp}$  от угла  $\theta_H$  для  $2\Delta H_{\perp} = 100$  (1), 500 (2), 1000 (3), 2000 Э (4) и  $H_k^{\alpha\Phi}/(\omega/\gamma) = 0.8$  и экспериментальные результаты для  $2\Delta H_{\perp} = 500$  Э (5). Видно, что относительное уширение зависит от  $2\Delta H_{\perp}$ , т. е.  $2\Delta H$  при прочих равных условиях не является линейной функцией  $2\Delta H_{\perp}$ . Таким образом, ограничение первым членом разложения в представлении  $\Delta H$  в виде  $\Delta H = (dH/d\omega) \Delta \omega + \dots$  не является вполне справедливым.

Из результатов проведенного анализа следует, что уширение линии ФМР, обусловленное изменением равновесной ориентации намагниченности «влево» от положения истинного центра линии, т. е. в области меньших полей, будет превышать уширение линии «вправо». Это приводит к асимметрии линии ФМР. При промежуточных направлениях  $\mathbf{H}$  разность углов равновесной ориентации, соответствующих точкам  $\chi'' = \chi'_{\text{рез}}/2$ , сильно возрастает с увеличением  $2\Delta H_1$ , причем угол  $\theta_H$ , при котором достигается ее максимальное значение, зависит от  $2\Delta H_1$ .

На рис. 3 в качестве примера, иллюстрирующего влияние кубической анизотропии на уширение линии, приведены рассчитанная по формулам (3) и (4) теоретическая (сплошная кривая), а также экспериментальная (точки) зависимости  $2\Delta H(\theta_H)$  для пленки первого из указанных выше составов с  $H_k^{\alpha\Phi} = 2090$ ,  $H_{k1} = -160$ ,  $2\Delta H_{\perp} = 650$  Э,  $\gamma = 1.75 \cdot 10^7$  Э<sup>-1</sup>·с<sup>-1</sup>. Угол  $\theta_H$  изменялся в плоскости (110). Как видно из рис. 3, уширение  $2\Delta H$ , наблюдающееся вблизи трудной оси [001], заметно превышает уширение вблизи [111]. Приведенные данные свидетельствуют о достаточно удовлетворительном количественном соответствии экспериментальных результатов с теоретически рассчитанными.

#### Список литературы

- [1] Барьяхтар Ф. Г., Дорман В. Л., Ковтун Н. М., Купрун Л. И., Соболев В. Л., Шкарь В. Ф. // ФТТ. 1984. Т. 26. № 12. С. 3646—3650.
- [2] Гуревич А. Г. Магнитный резонанс в ферритах и антиферромагнетиках. М.: Наука, 1973. 591 с.
- [3] Makino H., Hidaka Y. // Mat. Res. Bull. 1981. V. 16. N 8. P. 957—966.
- [4] Зюзин А. М., Зюзин Ал. М. // ФТТ. 1987. Т. 29. № 10. С. 3128—3131.

Мордовский государственный  
университет им. Н. П. Огарева  
Саранск

Поступило в Редакцию  
20 апреля 1988 г.  
В окончательной редакции  
9 февраля 1989 г.